

ผลของสภาพการเย็นตัวที่มีต่อปริมาณไฮโดรเจนของพอร์ซเลนเฟลด์สปาร์



นายบุญชัย บุญสิตานารา

ศูนย์วิทยทรัพยากร

วิทยานิพนธ์นี้เป็นส่วนหนึ่งของการศึกษาตามหลักสูตรปริญญาวิทยาศาสตรมหาบัณฑิต
สาขาวิชาทันตกรรมประดิษฐ์ ภาควิชาทันตกรรมประดิษฐ์


คณะทันตแพทยศาสตร์ จุฬาลงกรณ์มหาวิทยาลัย

ปีการศึกษา 2544

ISBN 974-03-0741-8

ลิขสิทธิ์ของจุฬาลงกรณ์มหาวิทยาลัย

EFFECT OF COOLING CONDITIONS ON LEUCITE CONTENT OF
FELDSPATHIC PORCELAIN



Mr. Boonchai Boonsitanara

ศูนย์วิทยทรัพยากร
จุฬาลงกรณ์มหาวิทยาลัย

A Thesis Submitted in Partial Fulfillment of the Requirements
for the Degree of Master of Science in Prosthodontics

Department of Prosthodontics

Faculty of Dentistry


Chulalongkorn University

Academic Year 2001

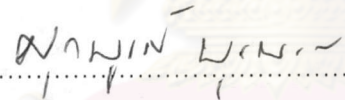
ISBN 974-03-0741-8

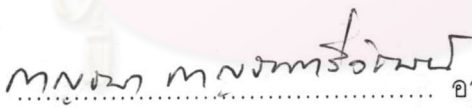
หัวข้อวิทยานิพนธ์ ผลของสภาพการเย็นตัวที่มีต่อปริมาณลูไซต์ของพอร์ซเลนเฟลด์สปาร์
โดย นายบุญชัย บุญสิตานารา
สาขาวิชา ทันตกรรมประดิษฐ์
อาจารย์ที่ปรึกษา ผู้ช่วยศาสตราจารย์ ทันตแพทย์หญิง ดร. กาญจนา กาญจนทวีวัฒน์


คณะทันตแพทยศาสตร์ จุฬาลงกรณ์มหาวิทยาลัย อนุมัติให้บัณฑิตวิทยาลัย เป็น
ส่วนหนึ่งของการศึกษาตามหลักสูตรปริญญามหาบัณฑิต


..... คณบดีคณะทันตแพทยศาสตร์
(รองศาสตราจารย์ ทันตแพทย์ สุรสิทธิ์ เกียรติพงษ์สาร)

คณะกรรมการสอบวิทยานิพนธ์


..... ประธานกรรมการ
(ผู้ช่วยศาสตราจารย์ ทันตแพทย์ ศุภามูรณ์ บุรณเวช)


..... อาจารย์ที่ปรึกษา
(ผู้ช่วยศาสตราจารย์ ทันตแพทย์หญิง ดร. กาญจนา กาญจนทวีวัฒน์)


..... กรรมการ
(ผู้ช่วยศาสตราจารย์ ทันตแพทย์ ดร. มโน คุรัตน์)

บุญชัย บุญสีตานารา : ผลของสภาพการเย็นตัวที่มีต่อปริมาณลูไซต์ของพอร์ซเลนเฟลด์สปาร์.

(EFFECT OF COOLING CONDITIONS ON LEUCITE CONTENT OF FELDSPATHIC PORCELAIN)

อ.ที่ปรึกษา : ผศ. พญ. ดร. กาญจนา กาญจนทวีวัฒน์ , 144 หน้า. ISBN 974-03-0741-8.

การวิจัยนี้มีวัตถุประสงค์ เพื่อศึกษาผลกระทบจากการเย็นตัวของพอร์ซเลนเฟลด์สปาร์ (FP) ภายหลังจากเผาในสภาวะต่างกัน 2 แบบคือ การเย็นตัวอย่างรวดเร็ว (F) และการเย็นตัวอย่างช้า (S) โดยศึกษา ตอนที่ I) ผลกระทบต่อปริมาณผลึกลูไซต์ ตอนที่ II) ค่าสัมประสิทธิ์การขยายตัวเหตุความร้อนของพอร์ซเลน ตอนที่ III) ค่ากำลังดัดขวาง ตอนที่ IV) ลักษณะการเกิดผลึกลูไซต์ และตอนที่ V) ความทึบแสง โดยใช้พอร์ซเลนเฟลด์สปาร์ทั้งหมด 4 ชนิดคือ 1) ชนิดโอพอลเลสเซนต์ (Vintage Halo, Shofu Inc.); 2) ชนิดตั้งเดิม (Vita Omega 900, Vita Zahnfabrik); 3) ชนิดลูไซต์สังเคราะห์ (Noritake Super porcelain EX-3, Noritake Kizai) และ 4) ชนิดเจือฟลูออโรอะปาไรต์ (IPS d.SIGN, Ivoclar) รวมเป็น 8 กลุ่ม ซึ่งแต่ละกลุ่มแบ่งการทดลองออกเป็น 5 ตอนดังนี้ ตอนที่ I) เตรียมลูไซต์มาตรฐานและตัวอย่างทดสอบของ FP 80 ตัวอย่าง โดยทดสอบด้วยเครื่องวัดการกระเจิงของรังสีเอกซ์ และหาค่าร้อยละโดยน้ำหนักของปริมาณลูไซต์ (LEU, wt %) ; ตอนที่ II) เตรียมแท่ง FP ขนาด 2 X 1.5 X 5 มม. จำนวน 8 กลุ่ม นำมาทดสอบด้วยเครื่องวัดการขยายตัว เพื่อวัดค่าสัมประสิทธิ์การขยายตัวเหตุความร้อน (α , $X10^{-6}/^{\circ}C$) ; ตอนที่ III) เตรียมแท่งตัวอย่าง FP เคลือบทับบนโลหะผสมไร้สเกล ขนาด 2 X 1.5 X 25 มม. จำนวน 80 ตัวอย่าง เพื่อหาค่ากำลังดัดขวาง (MOR, MPa) ด้วยเครื่องทดสอบสากล โดยให้ FP อยู่ด้านแรงดึงสูงสุด; ตอนที่ IV) นำแผ่นกลม FP ของทั้ง 8 กลุ่ม มากัดด้วยกรดไฮโดรฟลูออริก (HF) ร้อยละ 0.1 เป็นเวลา 20 นาที และชุบด้วยทองพลาเดียม เพื่อศึกษาลักษณะการเกิดของผลึก โดยใช้กล้องจุลทรรศน์อิเล็กตรอนแบบส่องกราด; ตอนที่ V) เตรียมแผ่นกลม FP ขนาดเส้นผ่านศูนย์กลาง 15 มม. หนา 1.5 มม. จำนวน 80 ตัวอย่าง เพื่อวัดค่าความทึบแสง (Y%) ด้วยเครื่องเทียบสี นำข้อมูลของตอนที่ I, III และ V วิเคราะห์โดยใช้สถิติวิเคราะห์ความแปรปรวนและการทดสอบแบบทู่ก็ย ผลการศึกษาเป็นดังนี้ ค่าเฉลี่ย ($\bar{x} \pm SD$) ของ (LEU, α , MOR, Y%) กลุ่ม 1F) 15.83 \pm 1.20, 13.0, 120.31 \pm 26.73, 86.37 \pm 1.65 กลุ่ม 1S) 18.75 \pm 2.08, 15.1, 97.26 \pm 26.79, 84.95 \pm 2.12 กลุ่ม 2F) 20.09 \pm 1.15, 13.3, 113.47 \pm 23.98, 91.21 \pm 0.72 กลุ่ม 2S) 19.70 \pm 1.20, 17.3, 93.58 \pm 15.06, 90.70 \pm 1.04 กลุ่ม 3F) 20.20 \pm 2.04, 12.4, 117.09 \pm 28.88, 72.82 \pm 1.13 กลุ่ม 3S) 21.33 \pm 1.46, 15.4, 127.34 \pm 39.18, 71.83 \pm 1.19 กลุ่ม 4F) 8.28 \pm 1.83, 12.0, 110.94 \pm 28.99, 87.35 \pm 1.35 กลุ่ม 4S) 8.37 \pm 2.47, 15.1, 122.40 \pm 20.50, 87.39 \pm 1.02 ส่วนภาพถ่ายด้วยกล้องจุลทรรศน์อิเล็กตรอนแบบส่องกราดพบว่า กลุ่ม S ปริมาณของผลึกลูไซต์มีขนาดใหญ่กว่ากลุ่ม F และในพอร์ซเลนเฟลด์สปาร์ชนิดเดียวกัน ในภาวะการเย็นตัวต่างกัน มีค่าเฉลี่ยร้อยละโดยน้ำหนักของปริมาณลูไซต์ ค่ากำลังดัดขวาง และค่าความทึบแสง / ค่าความโปร่งแสง ไม่แตกต่างกันอย่างมีนัยสำคัญ ($p > 0.05$) แต่ค่า α ของพอร์ซเลนเฟลด์สปาร์ภายใต้การเย็นตัวอย่างช้ามีค่าสูงกว่าในทุกกลุ่ม และในภาวะการเย็นตัวอย่างเดียวกัน พบว่าพอร์ซเลนเฟลด์สปาร์ชนิดลูไซต์สังเคราะห์มีค่าความโปร่งแสงมากที่สุด และพอร์ซเลนเฟลด์สปาร์ชนิดเจือฟลูออโรอะปาไรต์มีค่าเฉลี่ยร้อยละโดยน้ำหนักของผลึกลูไซต์น้อยที่สุด อย่างมีนัยสำคัญทางสถิติ ($p \leq 0.05$) และเป็นพอร์ซเลนเพียงชนิดเดียวที่เกิดผลึกฟลูออโรอะปาไรต์ ซึ่งเป็นผลึกที่แสดงคุณสมบัติเด่นของพอร์ซเลนกลุ่มนี้ ดังนั้นการเลือกภาวะการเย็นตัวของพอร์ซเลนเฟลด์สปาร์ควรคำนึงถึงผลต่อ α ของพอร์ซเลนเฟลด์สปาร์ ซึ่งเป็นปัจจัยหลักในการเลือกชนิดของโลหะ

ภาควิชา หันตกรรมประดิษฐ์

สาขาวิชา หันตกรรมประดิษฐ์

ปีการศึกษา 2544

ลายมือชื่อนิสิต

ลายมือชื่ออาจารย์ที่ปรึกษา

4176105032: MAJOR PROSTHODONTICS

KEY WORD: FELDSPATHIC PORCELAIN / PORCELAIN-FUSED-TO-METAL SYSTEMS / X- RAY DIFFRACTION ANALYSIS / DILATOMETRIC ANALYSIS / SPECTROPHOTOMETER / LEUCITE CRYSTALS / FLUORAPATITE CRYSTALS

BOONCHAI BOONSITANARA: EFFECT OF COOLING CONDITIONS ON LEUCITE CONTENT OF FELDSPATHIC PORCELAIN. THESIS ADVISOR: ASST. PROF. DR. KANCHANA KANCHANATAWEWAT, DSc. 144 pp. ISBN 974-03-0741-8.

The purpose of this study was to evaluate the effect of two different cooling conditions of feldspathic porcelain (FP), i.e. fast cooling (F) and slow cooling (S) on: Part I) leucite weight fraction, Part II) the coefficient of thermal expansion of FP, Part III) flexural strength of porcelain- fused- to- metal systems (PFMs), Part IV) microstructure evaluation, and Part V) opacity. The 4 types of FP used were: Type 1 Opalescence FP (Vintage Halo, Shofu Inc.), Type 2 Conventional FP (Vita Omega 900, Vita Zahnfabrik), Type 3 Synthetic leucite FP (Noritake Super porcelain EX-3, noritake Kizai), and Type 4) Fluorapatite glass-ceramic FP (IPS d.SIGN, Ivoclar). The total of 8 groups were then subjected to 2 cooling procedures: F and S. The study was divided into 5 parts. Part I) Standards leucite and FP of 8 groups (80 specimens) were prepared for a quantitative X- ray diffraction analysis. The corrected intensity ratios were used to calculate the weight percent of leucite (LEU, wt %). Part II) FP bars of 8 groups (2 X 1.5 X 5 mm), were fabricated. Dilatometric analysis (α , $\times 10^{-6}/^{\circ}\text{C}$) was performed on the bars using a dilatometer. Part III) 80 PFM bars (2 X 1.5 X 25 mm), were fabricated and randomly divided into 8 groups, (10 bars/ group). The PFM bars were placed in a flexural test device subjected to three-point bending in an Instron testing machine, placing FP on maximum tension. The flexural strength (MOR, MPa) was calculated from the load of failure. Part IV) The microstructure of FP specimens disc (8 groups) were characterized by a scanning electron microscopy. The specimen discs were etched with 0.1% hydrofluoric acid (HF) solution, and then coated with gold-palladium particles. Part V) 80 FP discs having 15 mm in diameter and 1.5 mm in height, were fabricated and randomly divided into 8 groups (10 discs/ group). The FP discs were placed in an opacity test device using a spectrophotometer (Y%). ANOVA and Tukey's statistical analyses of part I, III and V revealed that the Mean ($\bar{X} \pm \text{SD}$) of (LEU, α , MOR, Y%) were : Group 1F) 15.83 \pm 1.20, 13.0, 120.31 \pm 26.73, 86.37 \pm 1.65; Group 1S) 18.75 \pm 2.08, 15.1, 97.26 \pm 26.79, 84.95 \pm 2.12; Group 2F) 20.09 \pm 1.15, 13.3, 113.47 \pm 23.98, 91.21 \pm 0.72; Group 2S) 19.70 \pm 1.20, 17.3, 93.58 \pm 15.06, 90.70 \pm 1.04; Group 3F) 20.20 \pm 2.04, 12.4, 117.09 \pm 28.88, 72.82 \pm 1.13; Group 3S) 21.33 \pm 1.46, 15.4, 127.34 \pm 39.18, 71.83 \pm 1.19; Group 4F) 8.28 \pm 1.83, 12.0, 110.94 \pm 28.99, 87.35 \pm 1.35; Group 4S) 8.37 \pm 2.47, 15.1, 122.40 \pm 20.50, 87.39 \pm 1.02. The microstructure of slow cooling FP demonstrated an increase in leucite crystals and higher α . FP subjected to different cooling conditions, showed no significant difference in the amount of leucite crystals, flexural strength, and opacity/translucency. When comparing within the same cooling conditions, FP containing synthetic leucite crystals gave the highest translucency, whereas fluorapatite glass ceramic gave the least amount of leucite crystals ($p \leq 0.05$), and was the only group that contained with fluorapatite crystals, by which the main characteristic was dominated. In conclusion, the selection of cooling condition is recommended as it is the cause of porcelain-metal thermal incompatibility.

Department	Prosthodontics	Student's signature	
Field of study	Prosthodontics	Advisor's signature	
Academic year	2001		

กิตติกรรมประกาศ

วิทยานิพนธ์ฉบับนี้สำเร็จได้ด้วยความช่วยเหลือเป็นอย่างดีของผู้ช่วยศาสตราจารย์ ทันตแพทย์หญิง ดร. กาญจนา กาญจนทวีวัฒน์ อาจารย์ที่ปรึกษาวิทยานิพนธ์ ซึ่งท่านได้ให้คำแนะนำ ข้อคิดเห็นต่างๆ รวมทั้งวัสดุและอุปกรณ์ที่ใช้ในการทำวิจัย และทุนในการทำวิจัยครั้งนี้ ส่วนหนึ่งได้รับจากทุนอุดหนุนการวิจัยของบัณฑิตวิทยาลัย และสำนักงานกองทุนสนับสนุนการวิจัย สนับสนุนค่าใช้จ่ายในการเตรียมวัสดุมาตรฐานจากรหัสโครงการ RD 63/16/2541 และกองทุนงานวิจัยบัณฑิตศึกษา ภาควิชาทันตกรรมประดิษฐ์ จึงขอขอบคุณมา ณ ที่นี้ด้วย

นอกจากนี้ ขอขอบคุณบริษัท เด็นทัล วิชั่น จำกัด บริษัทแอสคอร์ด คอร์ปอเรชั่น จำกัด และบริษัท เจ.มอริต้า แมนูแฟคเจอร์ส คอร์ปอเรชั่น (ประเทศไทย) จำกัด ที่ให้ความอนุเคราะห์วัสดุในการทำวิจัย

สุดท้ายนี้ ผู้วิจัยขอกราบขอบพระคุณ บิดา มารดา ซึ่งให้การเลี้ยงดู ให้การศึกษา และให้กำลังใจแก่ผู้วิจัยตลอดมา

ศูนย์วิทยทรัพยากร
จุฬาลงกรณ์มหาวิทยาลัย

สารบัญ

	หน้า
บทคัดย่อภาษาไทย	ง
บทคัดย่อภาษาอังกฤษ	จ
กิตติกรรมประกาศ	ฉ
สารบัญ	ช
สารบัญตาราง	ซ
สารบัญภาพ	ญ
บทที่	
1. บทนำ	1
2. ปรัชศน์วรรณกรรม	6
3. ระเบียบวิธีการวิจัย	20
4. ผลการวิเคราะห์ข้อมูล	60
5. วิจาร์ณผลการวิจัย	111
6. บทสรุป	117
รายการอ้างอิง	119
ภาคผนวก	123
ประวัติผู้เขียนวิทยานิพนธ์	144

ศูนย์วิทยทรัพยากร
จุฬาลงกรณ์มหาวิทยาลัย

สารบัญตาราง

ตารางที่	หน้า
1. ตารางการเผาพอร์ซเลนเฟลด์สปาร์ต่างชนิด.....	27
2. การทดสอบคุณสมบัติของพอร์ซเลนเฟลด์สปาร์.....	28
3. สัดส่วนโดยน้ำหนักของลูไซต์มาตรฐานร้อยละ 0, 25, 50, 75 และ 100 ของผลึกลูไซต์ต่อ แก้วเมทริกซ์และ ผลึกอะลูมินาจำนวนร้อยละ 25 โดยน้ำหนักรวมของลูไซต์และ แก้วเมทริกซ์.....	34
4. ระยะเวลาการเย็นตัวลงสู่ระดับอุณหภูมิห้องในเตาเผาของพอร์ซเลนต่างชนิดกัน ในภาวะ การเย็นตัวลงอย่างช้า.....	60
5. การเปรียบเทียบค่าเฉลี่ยร้อยละโดยน้ำหนักของปริมาณลูไซต์ของพอร์ซเลนเฟลด์สปาร์ ชนิดเดียวกัน ในภาวะการเย็นตัวลงต่างกัน.....	62
6. ค่าสถิติของค่าเฉลี่ยร้อยละโดยน้ำหนักของปริมาณลูไซต์ของพอร์ซเลนเฟลด์สปาร์ ชนิดเดียวกัน ในภาวะการเย็นตัวลงต่างกัน.....	63
7. การเปรียบเทียบค่าเฉลี่ยร้อยละโดยน้ำหนักของปริมาณลูไซต์ของพอร์ซเลนเฟลด์สปาร์ ต่างชนิดในภาวะการเย็นตัวลงอย่างรวดเร็ว.....	66
8. การเปรียบเทียบค่าเฉลี่ยร้อยละโดยน้ำหนักของปริมาณลูไซต์ของพอร์ซเลนเฟลด์สปาร์ ต่างชนิดในภาวะการเย็นตัวลงอย่างช้า.....	68
9. การเปรียบเทียบค่าสัมประสิทธิ์การขยายตัวเหตุความร้อน (ส.ป.ส.) ของพอร์ซเลน เฟลด์สปาร์ต่างชนิด ในภาวะการเย็นตัวลงที่ต่างกัน.....	71
10. การเปรียบเทียบค่าสัมประสิทธิ์การขยายตัวเหตุความร้อน (ส.ป.ส.) ของพอร์ซเลน เฟลด์สปาร์ต่างชนิดกัน ในภาวะการเย็นตัวลงต่างกัน กับโลหะ	74
11. ค่าเฉลี่ยกำลังดัดขวาง (Mpa) ของพอร์ซเลนเฟลด์สปาร์ชนิดเดียวกัน ในภาวะการเย็นตัวลง ต่างกัน.....	78
12. ค่าสถิติของค่าเฉลี่ยกำลังดัดขวางของพอร์ซเลนเฟลด์สปาร์ชนิดเดียวกัน ในภาวะการเย็นตัว ลงต่างกัน.....	79
13. ค่าเฉลี่ยกำลังดัดขวาง (Mpa) ของพอร์ซเลนเฟลด์สปาร์ต่างชนิดกัน ในภาวะการเย็นตัว ลงอย่างรวดเร็ว แสดงความไม่แตกต่างกันอย่างมีนัยสำคัญทางสถิติ ($p > 0.05$).....	82

สารบัญตาราง (ต่อ)

ตารางที่	หน้า
14. ค่าเฉลี่ยกำลังตัดขวางของพอร์ชเลนเฟลด์สปาร์ต่างชนิดกัน ในภาวะการเย็นตัวลงอย่างช้า แสดงความไม่แตกต่างกันอย่างมีนัยสำคัญทางสถิติ ($p > 0.05$).....	84
15. ค่าความทึบแสง (ร้อยละ) ของพอร์ชเลนเฟลด์สปาร์ชนิดเดียวกัน ในภาวะการเย็นตัวลงต่างกัน.....	101
16. ค่าสถิติของค่าเฉลี่ยความทึบแสงของพอร์ชเลนเฟลด์สปาร์ชนิดเดียวกัน ในภาวะการเย็นตัวลงต่างกัน.....	102
17. ค่าเฉลี่ยความทึบแสง (ร้อยละ) ของพอร์ชเลนเฟลด์สปาร์ต่างชนิดกัน ในภาวะการเย็นตัวลงอย่างรวดเร็ว	105
18. ค่าสถิติของค่าเฉลี่ยความทึบแสงของพอร์ชเลนเฟลด์สปาร์ต่างชนิดกัน ในภาวะการเย็นตัวลงอย่างรวดเร็ว	106
19. ค่าเฉลี่ยความทึบแสง (ร้อยละ) ของพอร์ชเลนเฟลด์สปาร์ต่างชนิดกัน ในภาวะการเย็นตัวลงอย่างช้า.....	108
20. ค่าสถิติของค่าเฉลี่ยความทึบแสงของพอร์ชเลนเฟลด์สปาร์ต่างชนิดกัน ในภาวะการเย็นตัวลงอย่างช้า.....	109

ศูนย์วิทยทรัพยากร
จุฬาลงกรณ์มหาวิทยาลัย

สารบัญญภาพ

ภาพประกอบที่	หน้า
1. กลุ่มพอร์ซเลนเฟลด์สปาร์ ชนิดโอพอลเลสเซนต์ (สี A ₃ B dentine).....	21
2. กลุ่มพอร์ซเลนเฟลด์สปาร์ ชนิดโอพอลเลสเซนต์ (สี A ₃ O opaque).....	21
3. กลุ่มพอร์ซเลนเฟลด์สปาร์ ชนิดดั้งเดิม (สี A ₃ dentine).....	22
4. กลุ่มพอร์ซเลนเฟลด์สปาร์ ชนิดดั้งเดิม (สี A ₃ paste opaque).....	22
5. กลุ่มพอร์ซเลนเฟลด์สปาร์ ชนิดลูไซต์สังเคราะห์ (สี A ₃ B dentine).....	23
6. กลุ่มพอร์ซเลนเฟลด์สปาร์ ชนิดลูไซต์สังเคราะห์ (สี A ₃ O opaque).....	23
7. กลุ่มพอร์ซเลนเฟลด์สปาร์ ชนิดเจือฟลูออโรอะปาไทต์ (สี 140/ 1C).....	24
8. กลุ่มพอร์ซเลนเฟลด์สปาร์ ชนิดเจือฟลูออโรอะปาไทต์ (สี140 opaque).....	24
9. เตาเผาพอร์ซเลน.....	26
10. แผนผังแสดงการแบ่งกลุ่มการทดสอบของพอร์ซเลนเฟลด์สปาร์ ตอนที่ I การทดสอบ การกระเจิงของรังสีเอกซเรย์เพื่อศึกษาปริมาณลูไซต์ ตอนที่ III การทดสอบค่ากำลังดูดขวาง และตอนที่ V การทดสอบค่าความทึบแสง.....	29
11. แผนผังแสดงการแบ่งกลุ่มการทดสอบของพอร์ซเลนเฟลด์สปาร์ ตอนที่ II การทดสอบ ค่าสัมประสิทธิ์การขยายตัวเหตุความร้อน และ ตอนที่ IV การดูลักษณะโครงสร้างของผลึก..	31
12. ครกหินโมราและสาก.....	33
13. เครื่องวัดการกระเจิงของรังสีเอกซเรย์.....	33
14. แม่แบบซิลิโคนที่มีลักษณะเป็นแผ่นกลมสำหรับการวัดการกระเจิงของรังสีเอกซเรย์ การดู ลักษณะโครงสร้างของผลึก และการวัดค่าความทึบแสง.....	36
15. พอร์ซเลนที่ถูกอัดลงแม่แบบซิลิโคน.....	36
16. พอร์ซเลนแผ่นกลมก่อนเข้าเตาเผาที่มีขนาดเส้นผ่าศูนย์กลาง 18 มิลลิเมตร ความหนา 1.55 มิลลิเมตร.....	37
17. พอร์ซเลนแผ่นกลมภายหลังการเผาที่มีขนาดเส้นผ่าศูนย์กลาง 15 มิลลิเมตร ความหนา 1.50 มิลลิเมตร มีการหดตัวร้อยละ16.67.....	37
18. แม่แบบซิลิโคนที่มีลักษณะเป็นแท่งสำหรับการวัดค่าสัมประสิทธิ์การขยายตัวเหตุความร้อน มีขนาดความกว้าง 2.90 มิลลิเมตร ความหนา 1.55 มิลลิเมตร ความยาว 27.12 มิลลิเมตร....	40
19. พอร์ซเลนที่ถูกอัดลงแม่แบบซิลิโคน.....	40

สารบัญภาพ (ต่อ)

ภาพประกอบที่	หน้า
20. แท่งพอร์ซเลนก่อนเข้าเตาเผา มีขนาดความกว้าง 2.90 มิลลิเมตร ความหนา 1.55 มิลลิเมตร ความยาว 27.12 มิลลิเมตร.....	41
21. แท่งพอร์ซเลนภายหลังการเผาแล้ว มีขนาดความกว้าง 2 มิลลิเมตร ความหนา 1.5 มิลลิเมตร ความยาว 25 มิลลิเมตร มีการหดตัวร้อยละ 38.48.....	41
22. แท่งพอร์ซเลนภายหลังการตัดให้มีขนาด 5 มิลลิเมตร.....	42
23. เครื่องวัดการขยายตัวเหตุความร้อน.....	42
24. แผ่นพลาสติก มีความหนา 0.50 มิลลิเมตร.....	44
25. แท่งพลาสติกสีเหลืองผืนผ้า มีความกว้าง 3.00 มิลลิเมตร ความยาว 27.00 มิลลิเมตร.....	44
26. แผ่นพลาสติกยึดกับแกนซี่ผึ้งค้ำรูปท่ และตัวกอบเข้า.....	45
27. โลหะผสมไร้สกูลที่ใช้ทดสอบ.....	45
28. แท่งโลหะที่ใช้ทดสอบ.....	47
29. การทำชั้นพอร์ซเลนที่บดแสงครั้งที่ 1 และ 2 และภายหลังเข้าเตาเผา.....	47
30. การเตรียมตัวอย่างพอร์ซเลนเคลือบทับบนโลหะ โดยใช้แท่งโลหะที่มีความกว้าง 3.00 มิลลิเมตร ความหนา 0.50 มิลลิเมตร ความยาว 26.00 มิลลิเมตร ที่ได้รับการทำชั้นพอร์ซเลนที่บดแสง 2 ครั้ง หลังจากเข้าเตาเผา แล้วมาวางทับบนชั้นพอร์ซเลนเนื้อพื้นที่เตรียมไว้ในแม่แบบซิลิโคนที่มีความกว้าง 2.90 มิลลิเมตร ความหนา 1.55 มิลลิเมตร และความยาว 27.12 มิลลิเมตร.....	48
31. ตัวอย่างพอร์ซเลนเคลือบทับบนโลหะก่อนเข้าเตาเผา.....	50
32. ตัวอย่างพอร์ซเลนเคลือบทับบนโลหะภายหลังเข้าเตาเผา.....	50
33. การทดสอบค่ากำลังดัดขวางด้วยเครื่องทดสอบสากล.....	51
34. รูปแบบของลักษณะวิธีแรงกดสามตำแหน่ง.....	52
35. กระดาษซิลิโคนคาร์ไบด์แผ่นสีเหลือง ขนาด 320 600 1000 และ 1200 กริท.....	54
36. กระดาษซิลิโคนคาร์ไบด์แผ่นกลม ขนาด 2400 4000 กริท และกระดาษขัดผ้าละเอียด.....	54
37. เครื่องขัดไฟฟ้า.....	55
38. แผ่นพอร์ซเลนแบบกลมที่เคลือบผิวด้วยทองพัลลาเดียม.....	56
39. กล้องจุลทรรศน์อิเล็กตรอนแบบส่องกราด.....	56

สารบัญภาพ (ต่อ)

ภาพประกอบที่	หน้า
40. การนำชิ้นตัวอย่างเข้าติดที่แทนรับของเครื่องเทียบสี.....	58
41. การบันทึกค่าความทึบแสงที่มีฉากหลังเป็นสีดำและสีขาว.....	58
42. แผนภูมิแท่งแสดงค่าเฉลี่ยร้อยละโดยน้ำหนักของปริมาณลูไซต์ของพอร์ซเลนเฟลด์สปาร์ชนิดเดียวกัน ในภาวะการเย็นตัวที่ต่างกัน.....	64
43. แผนภูมิแท่งแสดงค่าเฉลี่ยร้อยละโดยน้ำหนักของปริมาณลูไซต์ของพอร์ซเลนเฟลด์สปาร์ต่างชนิดกัน ในภาวะการเย็นตัวลงอย่างรวดเร็ว.....	67
44. แผนภูมิแท่งแสดงค่าเฉลี่ยร้อยละโดยน้ำหนักของปริมาณลูไซต์ของพอร์ซเลนเฟลด์สปาร์ต่างชนิดกัน ในภาวะการเย็นตัวลงอย่างช้า.....	69
45. แผนภูมิแท่งแสดงการเปรียบเทียบค่าสัมประสิทธิ์การขยายตัวเหตุความร้อนของพอร์ซเลนเฟลด์สปาร์ ในภาวะการเย็นตัวลงต่างกัน.....	72
46. แผนภูมิแท่งแสดงการเปรียบเทียบค่าสัมประสิทธิ์การขยายตัวเหตุความร้อนของพอร์ซเลนเฟลด์สปาร์ต่างชนิดกัน ในภาวะการเย็นตัวลงต่างกัน กับโลหะ	75
47. แผนภูมิแท่งแสดงความแตกต่างของค่าสัมประสิทธิ์การขยายตัวเหตุความร้อนของกลุ่มพอร์ซเลนเฟลด์สปาร์และโลหะ ในภาวะการเย็นตัวลงต่างกัน.....	76
48. แผนภูมิแท่งแสดงค่ากำลังดัดขวางเฉลี่ย (Mpa) ของพอร์ซเลนเฟลด์สปาร์ชนิดเดียวกัน ในภาวะการเย็นตัวลงต่างกัน.....	80
49. แผนภูมิแท่งแสดงค่ากำลังดัดขวางเฉลี่ย (Mpa) ของพอร์ซเลนเฟลด์สปาร์ต่างชนิดกัน ในภาวะการเย็นตัวลงอย่างรวดเร็ว แสดงความไม่แตกต่างกันอย่างมีนัยสำคัญทางสถิติ ($p > 0.05$) ในทุกกลุ่ม.....	83
50. แผนภูมิแท่งแสดงค่าเฉลี่ยกำลังดัดขวาง (Mpa) ของพอร์ซเลนเฟลด์สปาร์ต่างชนิดกัน ในภาวะการเย็นตัวลงอย่างช้า แสดงความไม่แตกต่างกันอย่างมีนัยสำคัญทางสถิติ ($p > 0.05$) ในทุกกลุ่ม.....	85
51. ภาพถ่ายด้วยกล้องจุลทรรศน์อิเล็กตรอนแบบส่องกราดของพอร์ซเลนเฟลด์สปาร์ชนิดโอพอลเลสเซนตีในภาวะการเย็นตัวลงอย่างรวดเร็ว ด้วยกำลังขยายขนาด 500 เท่า.....	87
52. ภาพถ่ายด้วยกล้องจุลทรรศน์อิเล็กตรอนแบบส่องกราดของพอร์ซเลนเฟลด์สปาร์ชนิดโอพอลเลสเซนตีในภาวะการเย็นตัวลงอย่างรวดเร็ว ด้วยกำลังขยายขนาด 500 เท่า.....	87

สารบัญภาพ (ต่อ)

ภาพประกอบที่	หน้า
53. ภาพถ่ายด้วยกล้องจุลทรรศน์อิเล็กตรอนแบบส่องกราดของพอร์ซเลนเฟลด์สปาร์ชนิด โอฟอลเลสเซนตีในภาวะการเย็นตัวลงอย่างรวดเร็ว ด้วยกำลังขยายขนาด 1500 เท่า.....	88
54. ภาพถ่ายด้วยกล้องจุลทรรศน์อิเล็กตรอนแบบส่องกราดของพอร์ซเลนเฟลด์สปาร์ชนิด โอฟอลเลสเซนตีในภาวะการเย็นตัวลงอย่างช้า ด้วยกำลังขยายขนาด 384 เท่า.....	88
55. ภาพถ่ายด้วยกล้องจุลทรรศน์อิเล็กตรอนแบบส่องกราดของพอร์ซเลนเฟลด์สปาร์ชนิด โอฟอลเลสเซนตีในภาวะการเย็นตัวลงอย่างช้า ด้วยกำลังขยายขนาด 500 เท่า.....	89
56. ภาพถ่ายด้วยกล้องจุลทรรศน์อิเล็กตรอนแบบส่องกราดของพอร์ซเลนเฟลด์สปาร์ชนิด โอฟอลเลสเซนตีในภาวะการเย็นตัวลงอย่างช้า ด้วยกำลังขยายขนาด 500 เท่า ลูกศรชี้เหลือง แสดงผลึกกุไฮต์ที่มีขนาดใหญ่มาก.....	89
57. ภาพถ่ายด้วยกล้องจุลทรรศน์อิเล็กตรอนแบบส่องกราดของพอร์ซเลนเฟลด์สปาร์ชนิด โอฟอลเลสเซนตีในภาวะการเย็นตัวลงอย่างช้า ด้วยกำลังขยายขนาด 1500 เท่า แสดงรอยแตกจำนวนมาก.....	90
58. ภาพถ่ายด้วยกล้องจุลทรรศน์อิเล็กตรอนแบบส่องกราดของพอร์ซเลนเฟลด์สปาร์ชนิด โอฟอลเลสเซนตีในภาวะการเย็นตัวลงอย่างช้า ด้วยกำลังขยายขนาด 2000 เท่า แสดงรอยขนานไขว้ไปมาในผลึกกุไฮต์.....	90
59. ภาพถ่ายด้วยกล้องจุลทรรศน์อิเล็กตรอนแบบส่องกราดของพอร์ซเลนเฟลด์สปาร์ชนิด ดั้งเดิมในภาวะการเย็นตัวลงอย่างรวดเร็ว ด้วยกำลังขยายขนาด 500 เท่า.....	92
60. ภาพถ่ายด้วยกล้องจุลทรรศน์อิเล็กตรอนแบบส่องกราดของพอร์ซเลนเฟลด์สปาร์ชนิด ดั้งเดิมในภาวะการเย็นตัวลงอย่างรวดเร็ว ด้วยกำลังขยายขนาด 886 เท่า ลูกศรชี้เหลือง แสดงผลึกกุไฮต์.....	92
61. ภาพถ่ายด้วยกล้องจุลทรรศน์อิเล็กตรอนแบบส่องกราดของพอร์ซเลนเฟลด์สปาร์ชนิด ดั้งเดิมในภาวะการเย็นตัวลงอย่างช้า ด้วยกำลังขยายขนาด 500 เท่า.....	93
62. ภาพถ่ายด้วยกล้องจุลทรรศน์อิเล็กตรอนแบบส่องกราดของพอร์ซเลนเฟลด์สปาร์ชนิด ดั้งเดิมในภาวะการเย็นตัวลงอย่างช้า ด้วยกำลังขยายขนาด 1000 เท่า.....	93

สารบัญญภาพ (ต่อ)

ภาพประกอบที่	หน้า
63. ภาพถ่ายด้วยกล้องจุลทรรศน์อิเล็กตรอนแบบส่องกราดของพอร์ซเลนเฟลด์สปาร์ชนิด ลูไซต์สังเคราะห์ในภาวะการเย็นตัวลงอย่างรวดเร็ว ด้วยกำลังขยาย 250 เท่า.....	94
64. ภาพถ่ายด้วยกล้องจุลทรรศน์อิเล็กตรอนแบบส่องกราดของพอร์ซเลนเฟลด์สปาร์ชนิด ลูไซต์สังเคราะห์ในภาวะการเย็นตัวลงอย่างช้า ด้วยกำลังขยาย 250 เท่า.....	94
65. ภาพถ่ายด้วยกล้องจุลทรรศน์อิเล็กตรอนแบบส่องกราดของพอร์ซเลนเฟลด์สปาร์ชนิด ลูไซต์สังเคราะห์ในภาวะการเย็นตัวลงอย่างช้า ด้วยกำลังขยาย 500 เท่า.....	95
66. ภาพถ่ายด้วยกล้องจุลทรรศน์อิเล็กตรอนแบบส่องกราดของพอร์ซเลนเฟลด์สปาร์ชนิด เจือฟลูออโรอะปาไทต์ในภาวะการเย็นตัวลงอย่างรวดเร็ว ด้วยกำลังขยายขนาด 438 เท่า.....	97
67. ภาพถ่ายด้วยกล้องจุลทรรศน์อิเล็กตรอนแบบส่องกราดของพอร์ซเลนเฟลด์สปาร์ชนิด เจือฟลูออโรอะปาไทต์ในภาวะการเย็นตัวลงอย่างรวดเร็ว ด้วยกำลังขยายขนาด 1750 เท่า ลูกศรชี้เหลืองแสดงผลึกลูไซต์ ส่วนผลึกขนาดเล็กสีขาวที่มีลักษณะรูปร่างคล้ายแท่งเข็มคือ ผลึกฟลูออโรอะปาไทต์.....	97
68. ภาพถ่ายด้วยกล้องจุลทรรศน์อิเล็กตรอนแบบส่องกราดของพอร์ซเลนเฟลด์สปาร์ชนิด เจือฟลูออโรอะปาไทต์ในภาวะการเย็นตัวลงอย่างรวดเร็ว ด้วยกำลังขยายขนาด 7000 เท่า.....	98
69. ภาพถ่ายด้วยกล้องจุลทรรศน์อิเล็กตรอนแบบส่องกราดของพอร์ซเลนเฟลด์สปาร์ชนิด เจือฟลูออโรอะปาไทต์ในภาวะการเย็นตัวลงอย่างช้า ด้วยกำลังขยายขนาด 1000 เท่า ลูกศรชี้เหลืองแสดงผลึกลูไซต์ ส่วนผลึกขนาดเล็กสีขาวที่มีลักษณะรูปร่างคล้ายแท่งเข็มคือ ผลึกฟลูออโรอะปาไทต์.....	98
70. ภาพถ่ายด้วยกล้องจุลทรรศน์อิเล็กตรอนแบบส่องกราดของพอร์ซเลนเฟลด์สปาร์ชนิด เจือฟลูออโรอะปาไทต์ในภาวะการเย็นตัวลงอย่างช้า ด้วยกำลังขยายขนาด 2000 เท่า ส่วนผลึกขนาดเล็กสีขาวที่มีลักษณะรูปร่างคล้ายแท่งเข็มคือ ผลึกฟลูออโรอะปาไทต์.....	99
71. ภาพถ่ายด้วยกล้องจุลทรรศน์อิเล็กตรอนแบบส่องกราดของพอร์ซเลนเฟลด์สปาร์ชนิด เจือฟลูออโรอะปาไทต์ในภาวะการเย็นตัวลงอย่างช้า ด้วยกำลังขยายขนาด 4000 เท่า.....	99
72. แผนภูมิแท่งแสดงค่าเฉลี่ยความทึบแสงของพอร์ซเลนเฟลด์สปาร์ชนิดเดียวกัน ในภาวะการเย็น ตัวลงต่างกัน.....	103

สารบัญภาพ (ต่อ)

ภาพประกอบที่	หน้า
73. แผนภูมิแท่งแสดงค่าเฉลี่ยความถี่แสงของฟอร์ซเลนเฟลด์สปาร์ต่างชนิดกัน ในภาวะการเย็นตัวลงอย่างรวดเร็ว.....	107
74. แผนภูมิแท่งแสดงค่าเฉลี่ยความถี่แสงของฟอร์ซเลนเฟลด์สปาร์ต่างชนิดกัน ในภาวะการเย็นตัวลงอย่างช้า.....	110



ศูนย์วิทยทรัพยากร
จุฬาลงกรณ์มหาวิทยาลัย